

Курсовая работа

## **Численное моделирование морской поверхности**

Выполнил студент 430 группы

Понур К.А.

Научный руководитель:

Караев В. Ю.

Нижний Новгород, 2019

# Содержание

<b>1</b>	<b>Введение</b>	<b>2</b>
<b>2</b>	<b>Небольшое введение в корреляционную теорию</b>	<b>2</b>
<b>3</b>	<b>Реальное и модельное поля уклонов волнения</b>	<b>3</b>
<b>4</b>	<b>Корреляционные функции высот и уклонов</b>	<b>5</b>
<b>5</b>	<b>Заключение</b>	<b>7</b>
<b>6</b>	<b>Моделирование волнения</b>	<b>7</b>
6.1	Модель спектра волнения . . . . .	7
6.2	Модель углового распределения . . . . .	7

## 1. Введение

В настоящее время, существующая измерительная аппаратура не всегда позволяет получить достаточно полное представление о состоянии приповерхностного слоя океана, поэтому постоянно разрабатываются новые радиолокационные системы. Вместе с тем, для решения таких задач, как проверка качества диагностики состояния поверхности океана существующими радиолокаторами, тестирование и разработка алгоритмов восстановления океанографической информации, а также оценка возможностей новых радиолокаторов, вполне естественным является применение более экономных по времени и средствам методов, в частности численного моделирования. Однако, при моделировании одномерной морской поверхности, как правило, используется сумма большого числа гармоник, что приводит к значительным затратам машинного времени.

В связи с этим возникает необходимость в минимизации числа гармоник в спектре моделируемой морской поверхности при сохранении необходимой точности при решении различных задач оптики морской поверхности. Здесь возникает ряд нетривиальных вопросов об оптимальном разбиении частотной плоскости на участки и выборе оптимального положения дискретных спектральных компонент в пределах этих участков. Поиску ответов на эти вопросы и посвящена данная работа.

## 2. Небольшое введение в корреляционную теорию

Рассмотрим ряд общих понятий, описывающих возвышения и уклоны взволнованной морской поверхности в рамках теории случайных пространственно-временных полей. Представим возвышения поверхности в виде суммы гармонических бегущих волн с независимыми (случайными) фазами:

$$\zeta(\vec{r}, t) = \operatorname{Re} \iint_{\infty} d\dot{\zeta}(k) \exp\{i(\vec{k} \vec{r} - \omega_k t)\}, \quad (1)$$

где  $d\dot{\zeta}$  – комплексная амплитуда гармоники с волновым числом  $\vec{k}$  и временной частотой  $\omega_k$ , связанной с  $\vec{k}$  дисперсионным соотношением  $\omega_k = \sqrt{gk}$ ,  $\vec{k} = \vec{x}_0 k_x + \vec{y}_0 k_y$ ,  $\rho = \vec{x}_0 x + \vec{y}_0 y$ ,  $x_0, y_0$  – орты декартовой системы координат,  $k = |k|$  – пространственная частота,  $t$  – время,  $g = 9.81 \frac{\text{м}}{\text{с}^2}$  – ускорение свободного падения.

Пространственно-временная корреляционная <sup>1</sup> функция возвышений по определяется выражением:

$$M_{\zeta}(\vec{r}_1, \vec{r}_2, t_1, t_2) = \langle \zeta(\vec{r}_1, t_1) \zeta(\vec{r}_2, t_2) \rangle \quad (2)$$

---

<sup>1</sup>Нужно разобраться с названиями, но судя по всему так далее называется смешанный момент

В соответствии с (1):

$$M_{\zeta}(\vec{r}_1, \vec{r}_2, t_1, t_2) = \frac{1}{2} \operatorname{Re} \iint_{\infty} \iint_{\infty} \langle d\dot{\zeta}(\vec{k}_1) d\dot{\zeta}(\vec{k}_2) \rangle \exp \left\{ i(\vec{k}_1 \vec{r} - \omega_1 t_1 + \vec{k}_2 \vec{r} - \omega_1 t_2) \right\} + \\ + \langle d\dot{\zeta}(\vec{k}_1) d\dot{\zeta}^*(\vec{k}_2) \rangle \exp \left\{ i(\vec{k}_1 \vec{r} - \omega_1 t_1 - \vec{k}_2 \vec{r} + \omega_1 t_2) \right\}$$

Поскольку двумерная плотность вероятности стационарного процесса зависит от  $t_1$  и  $t_2$  через разность  $\tau = t_2 - t_1$ , то смешанный момент второго порядка будет зависеть только от  $\tau^2$ . Аналогично можно сказать и про  $\vec{r}_1$  и  $\vec{r}_2$

Итак, для статически однородного и стационарного поля выполняется соотношение:

$$M_{\zeta}(\vec{r}_1, \vec{r}_2, t_1, t_2) = M_{\zeta}(\vec{\rho} = \vec{r}_2 - \vec{r}_1, \tau = t_2 - t_1) \quad (3)$$

Чтобы это соотношение было справедливым в нашей задаче, необходимо потребовать выполнение условий

$$\frac{1}{2} \langle d\dot{\zeta}(\vec{k}_1) d\dot{\zeta}(\vec{k}_2) \rangle = 0 \quad \text{и} \quad \frac{1}{2} \langle d\dot{\zeta}(\vec{k}_1) d\dot{\zeta}^*(\vec{k}_2) \rangle = \tilde{S}(\vec{k}_1) \delta(\vec{k}_2 - \vec{k}_1) d\vec{k}_1 d\vec{k}_2. \quad (4)$$

где  $\tilde{S}(\vec{k})$  – волновой спектр морской поверхности,  $\delta(\vec{k}_2 - \vec{k}_1)$  – дельта-функция. Подставляя эти условия в (2), получим:

$$M_{\zeta}(\rho, \tau) = \iint_{\infty} S(\vec{k}) \cos(\vec{k} \vec{\rho} - \omega_k \tau) d\vec{k}. \quad (5)$$

Винеровский энергетический спектр определяется преобразованием Винера-Хинчкина функцией корреляции, описываемой (5)

$$\Phi_{\zeta}(\vec{k}, \omega) = \iiint_{\infty} M_{\zeta}(\vec{\rho}, \tau) e^{-i(\vec{k} \vec{\rho} + \omega \tau)} d\vec{\rho} d\tau = 4\pi^3 \left[ \tilde{S}(\vec{k}) \delta(\omega + \omega_k) + \tilde{S}(-\vec{k}) \delta(\omega - \omega_k) \right]. \quad (6)$$

Из (6) следуют, как частные случаи, выражения для пространственного,

$$\Phi_{\zeta}(\vec{k}) = \frac{1}{2\pi} \int_{\infty} \Phi_{\zeta}(\vec{k}, \omega) d\omega = 2\pi^2 \left[ \tilde{S}(\vec{k}) + \tilde{S}(-\vec{k}) \right], \quad (7)$$

и временного спектров Винера.

Разобрать фундаментально всю теорию до этого момента.

### 3. Реальное и модельное поля уклонов волнения

Обратимся сначала к задаче моделирования случайного одномерного поля уклонов взволнованной поверхности.

---

<sup>2</sup>доказать

Представим модельное поле уклонов в виде суммы  $N$  синусоид с детерминированными амплитудами  $a_i$  и случайными фазами  $\varphi_i$ :

$$\Sigma(r) = \sum_{i=1}^N a_i \sin(k_i r + \varphi_i), \quad (8)$$

где  $b_i = \frac{a_i^2}{2}$ .

Допустим что величины  $k_i$  не находятся в дробно-рациональных отношениях друг к другу. В этом случае можно полагать, что сложение гармонических составляющих с частотами  $k_i$  и амплитудами  $b_i$  при больших  $\rho$  происходит «некогерентным» образом. При этом мощность «шума» функции  $\tilde{M}_q(\rho)$  определяется выражением  $\sigma^2 = \sum_{i=1}^N \frac{b_i^2}{2}$ . В области малых  $\rho$ , напротив, гармоники суммируются «когерентно» и соответствующая «мощность» равна  $\tilde{M}_q^2(0) = \left( \sum_{i=1}^N b_i \right)^2$ . Образует величину  $Q = \sigma^2 / \tilde{M}_q(0)$ , которая характеризует относительную мощность шумов. Минимум этой величины находится путём решения системы уравнений  $\frac{\partial Q}{\partial b_i} = 0$ , для  $i = 1, 2, \dots, N$ . Результатом её решения является  $b_1 = b_2 = \dots = b_N$ . Спектр модельного поля при этом имеет близкий к белому вид, а выравнивание амплитуд спектральных компонент реального поля  $S_q$  сводится к разбиению области определения спектра  $[0, k_m]$  на участки  $\Delta k_i$ , интегралы по которым от функции  $S_q(k)$  имеют одно и то же значения  $b_i = b_0 = \sigma_q^2 / N$ .

Заметим теперь, что, рассуждая о способах разбиения интервала частот  $[0, k_m]$  на участки  $\Delta k_i$ , мы оставляли нерешённым вопрос о выборе собственно узлов спектра  $k_i$  внутри этих участков. Обычно узел  $k_i$  ставится у правой границы ячейки  $\Delta k_i$ . При этом, однако, оказывается, что модельная корреляционная функция плохо согласуется с реальной корреляционной функцией в области малых  $\rho$ . Для достижения такого согласия следует потребовать сопряжения всех производных (от первого до  $N$ -о порядка) функция  $\tilde{M}_q(\rho)$  и  $M_q(q)$  при  $\rho = 0$ . Это условие эквивалентно требованию сопряжения моментов спектров модельного и реального полей уклонов, которое записывается в виде

$$\sum_{i=1}^N b_i k_i^{2p} = \int_0^\infty k^{2p} S_q(k) k dk, \quad (9)$$

для  $p = 1, 2, \dots, N$ .

Полученная система  $N$  уравнений для  $N$  неизвестных  $k_i$  не имеет общего решения и потому может анализироваться лишь численно, что тоже связано со значительными сложностями.

Оставим пока эту задачу за рамками данной работы.

Наиболее простое решение вопроса о выборе узлов заключается в том, чтобы потребовать выполнения облегченного, по сравнению с предыдущим, условия сопряжения вторых

моментов модельного и реального спектров уклонов:

$$b_i k_i^2 = \int_{\Delta k_i} k^2 S_q(k) k dk. \quad (10)$$

Из него непосредственно следует правило нахождения узлов  $k_i$ . В частности, получаем

$$k_i = \sqrt{\frac{1}{b_0} \int_{\Delta k_i} k^2 S_q(k) k dk}. \quad (11)$$

Такой способ выбора узлом, как нетрудно убедиться, обеспечивает сопряжения корреляционных функций реального и модельного полей по второй производной в нуле, или, иначе говоря, равенство дисперсий кривизн этих полей, что весьма важно при решении многих задач оптики морской поверхности:

## 4. Корреляционные функции высот и уклонов

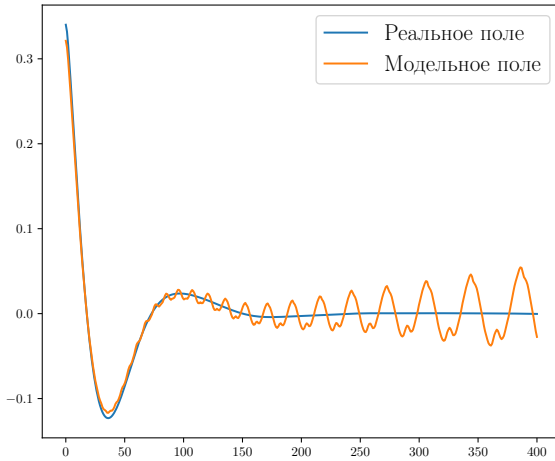


Рис. 1: Корреляционная функция высот при расположении узлов, равномерно распределенных в логарифмическом масштабе.  $N = 100$ ,  $U_{10} = 10$ .

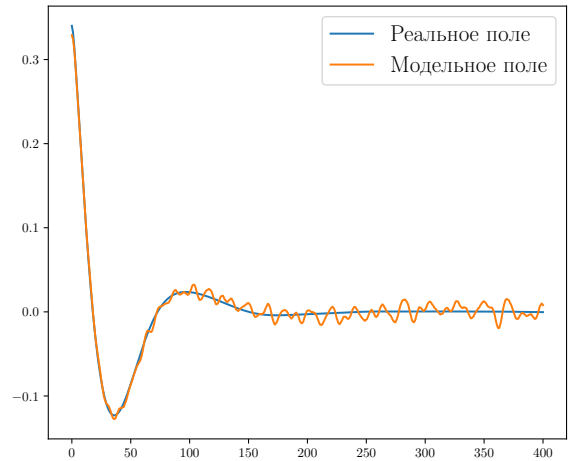


Рис. 2: Корреляционная функция высот при расположении узлов по методу «отбеливания спектра».  $N = 100$ ,  $U_{10} = 10$ .

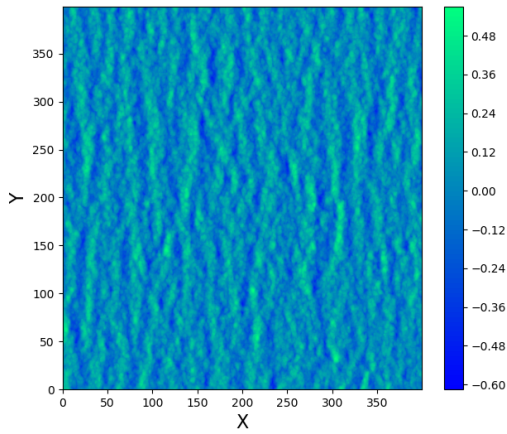


Рис. 3: Моделирование высот морского волнения.  $N = 1000$ ,  $U_{10} = 5$

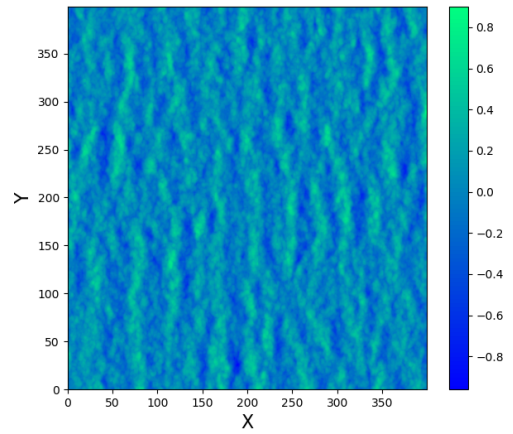


Рис. 4: Моделирование высот морского волнения.  $N = 1000$ ,  $U_{10} = 6$

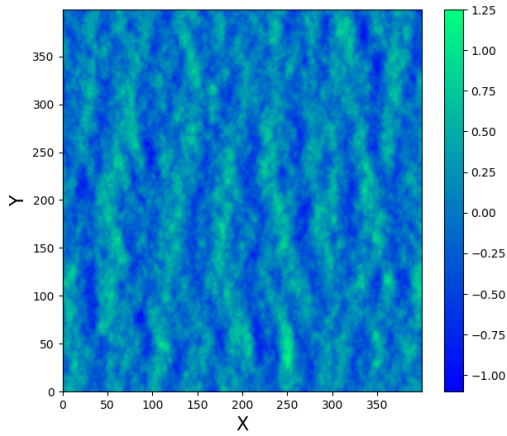


Рис. 5: Моделирование высот морского волнения.  $N = 1000$ ,  $U_{10} = 7$

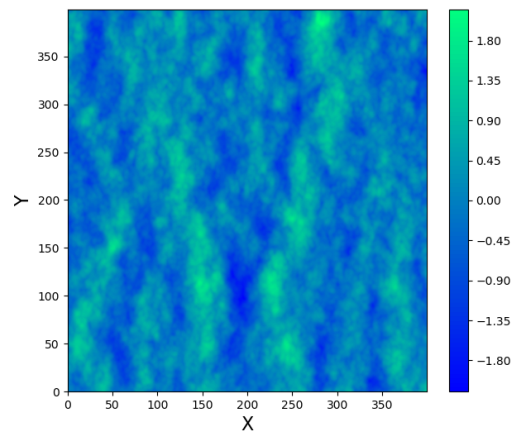


Рис. 6: Моделирование высот морского волнения.  $N = 1000$ ,  $U_{10} = 10$

## 5. Заключение

## 6. Моделирование волнения

### 6.1. Модель спектра волнения

Для моделирования волнения используется следующая модель спектра волнения, предложенного в [3]:

$$\begin{cases} S(\omega) = S_J(\omega), & 0 < \omega \leq 1.2\omega_m \\ S(\omega) = \frac{\alpha_2}{\omega^4}, & 1.2\omega_m < \omega \leq \alpha_m\omega_m \\ S(\omega) = \frac{\alpha_3}{\omega^5}, & \alpha_m\omega_m < \omega \leq \omega_g k \\ S(\omega) = \frac{\alpha_4}{\omega^{2.7}}, & \omega_g k < \omega \leq \omega_h \\ S(\omega) = \frac{\alpha_5}{\omega^5}, & \omega_h < \omega, \end{cases} \quad (12)$$

где коэффициенты  $\alpha_i$  задаются следующим образом:

$$\begin{cases} \alpha_2 = S_J(1.2\omega_m) \cdot (1.2\omega_m)^4 \\ \alpha_3 = \alpha_2 \cdot \alpha_m\omega_m \\ \alpha_4 = \frac{\alpha_3}{\omega_{gk}^{2.3}} \\ \alpha_5 = \alpha_4 \cdot \omega_h^{2.3} \\ \alpha_m = f(U_{10}), \end{cases} \quad (13)$$

$U_{10}$ — скорость ветра на высоте 10 метров над уровнем моря, а  $S_J(\omega)$ — спектр JONSWAP:

$$S_J(\omega) \sim \frac{g^2}{\omega^5} \exp\left\{-\left(\frac{\omega_m}{\omega}\right)^4\right\} \cdot \gamma^{\exp\{-\omega^2\}} \quad (14)$$

Стоит отметить, что в конечном счете формулы (12),(13),(14) в модели использовались в  $k$ —представлении, т.е. был выполнен переход  $S(\omega) \rightarrow S(k)$

### 6.2. Модель углового распределения

Угловое распределение  $\Phi_\omega$  в данной работе описывается следующей формулой:

$$\Phi_k(k, \varphi) = A \cdot \cosh^{-1} 2B(k)\varphi, \quad -\pi \leq \varphi \leq \pi, \quad (15)$$

где  $\varphi = \varphi_m = \varphi_w$ ,  $\varphi_w$ — генеральное направление распространения волнения,  $\varphi_m$ — текущий азимутальный угол,  $A$ — нормировочный коэффициент.

Дисперсионное уравнение в данной работе имеет вид:

$$\omega(k) = \sqrt{gk + a \cdot k^3}, \quad (16)$$

Значения и физический смысл всех коэффициентов можно найти в [1], а также в исходном коде программы ([github.com/KirillPonur/water](https://github.com/KirillPonur/water))



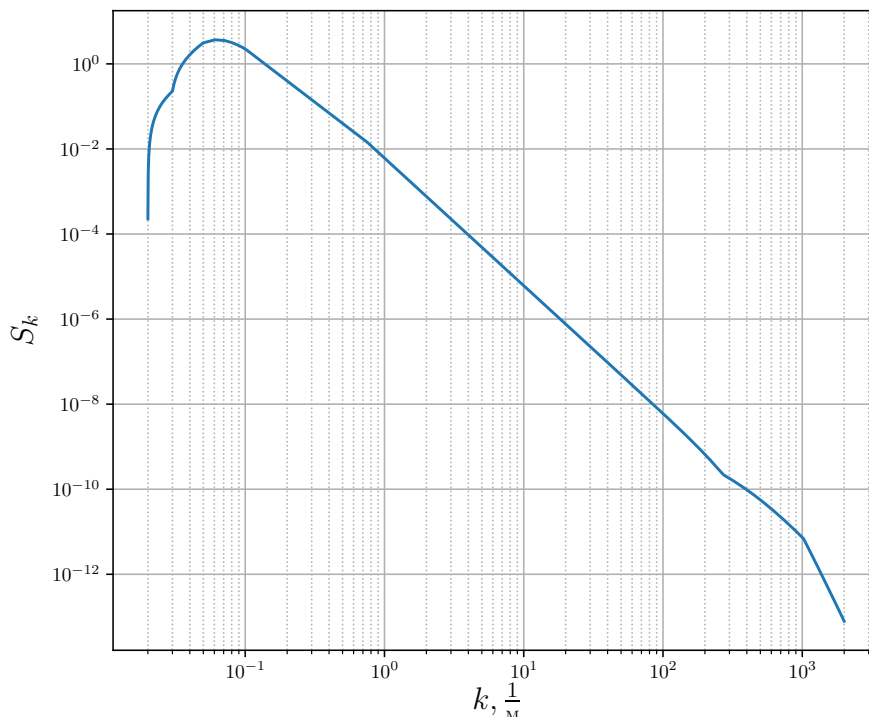


Рис. 7: Используемая модель спектра волнения в  $k$ -представлении. Параметры:  $\tilde{x} = 20170$ ,  $U_{10} = 10 \frac{\text{м}}{\text{с}}$

## Список литературы

- [1] *В.Ю.Караев, М.Б. Каневский, Г.Н. Баландина*, Численное моделирование поверхностного волнения и дистанционное зондирование // Препринт №552 ИПФ РАН, 2002, С.1-10.
- [2] *В.Л. Вебер*, О моделировании случайного профиля морской поверхности // Изв. вузов. Радиофизика. 2017. Т. 60, № 4. С. 346.
- [3] *В.Ю.Караев, Г.Н. Баландина* Модифицированный спектр волнения и дистанционное зондирование // Исследование Земли из космоса, 2000, N5, С.1-12.

**Примечание.** Модель написала на языке Python с использованием библиотек NumPy и SciPy, курсовая и презентация к ней оформлены в издательской системе L<sup>A</sup>T<sub>E</sub>X с использованием пакета Beamer. Актуальную версию программы можно найти на Github'e: ([github.com/KirillPonur/water](https://github.com/KirillPonur/water))

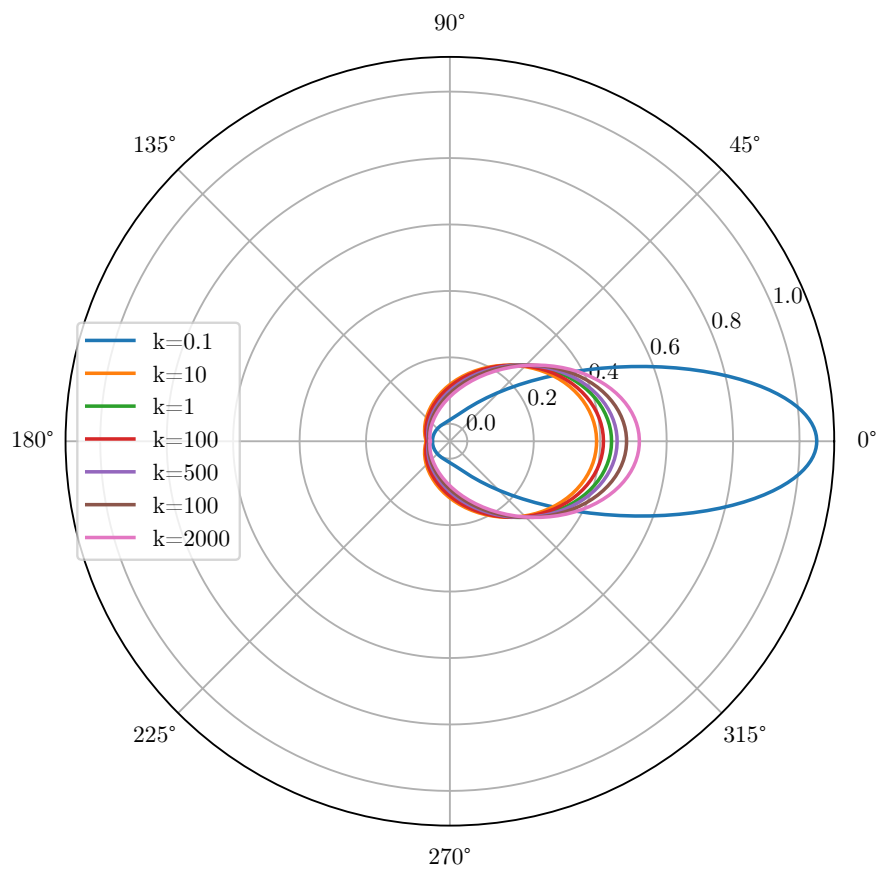


Рис. 8: Используемая модель углового распределения для различных значений  $k$ . Параметры:  $\tilde{x} = 20170, U_{10} = 10 \frac{\text{м}}{\text{с}}$